

© 2021 г. Ю. П. Чубурин*, Т. С. Тинюкова†

ПОВЕДЕНИЕ АНДРЕЕВСКИХ СОСТОЯНИЙ ПРИ ТОПОЛОГИЧЕСКОМ ФАЗОВОМ ПЕРЕХОДЕ

Рассматриваются три одномерные сверхпроводящие структуры: 1) с p -волновой сверхпроводимостью; 2) основная в экспериментах модель нанопроволоки с s -волновой сверхпроводимостью, порожденной объемным сверхпроводником благодаря эффекту близости в присутствии внешнего магнитного поля и спин-орбитального взаимодействия Рашбы; 3) граница двумерного топологического изолятора при наличии s -волнового сверхпроводящего порядка и внешнего магнитного поля. Получены строгие аналитические результаты для модели сверхпроводник–(магнитная) примесь–сверхпроводник. С помощью гамильтониана Боголобова–де Жена изучено поведение возникающих в данных структурах устойчивых состояний с энергиями вблизи граничных точек энергетической щели типа “электрон” (“дырка”) для первой модели и “электрон плюс дырка” для двух других моделей при переходе системы из топологической фазы в тривиальную. Оказалось, что в топологическом фазовом переходе большую роль играют резонансные (распадающиеся) состояния, причем происходящий при этом переворот спинов, а также изменение знака заряда происходят благодаря переходу локализованных состояний в резонансные и наоборот с изменением их энергий на противоположные при закрытии щели. Результаты согласуются с отсутствием пика кондактанса при нулевой разности потенциалов в тривиальной топологической фазе в недавнем эксперименте.

Ключевые слова: гамильтониан Боголобова–де Жена, сверхпроводящая щель, андреевское локализованное состояние, майорановское локализованное состояние, резонансное состояние.

DOI: <https://doi.org/10.4213/tmf10025>

Работа Ю. П. Чубурина поддержана программой финансирования АААА-А16-116021010082-8. Работа Т. С. Тинюковой выполнена при поддержке Минобрнауки РФ в рамках государственного задания № 075-00232-20-01, проект FEWS-2020-0010[1].

*Удмуртский федеральный исследовательский центр Уральского отделения Российской академии наук, Ижевск, Россия. E-mail: chuburin@udman.ru

†Удмуртский государственный университет, Ижевск, Россия. E-mail: ttinyukova@mail.ru

1. ВВЕДЕНИЕ

В настоящее время наблюдается большой интерес к майорановским локализованным состояниям (МЛС), возникающим в гетероструктурах сверхпроводник–нормальный металл (S-N) или сверхпроводник–нормальный металл–сверхпроводник (S-N-S) на границе сверхпроводника в топологической фазе [1]–[5]. МЛС представляют собой нейтральные квазичастицы типа “электрон плюс дырка” с нулевой энергией, подчиняющиеся неабелевой квантовой статистике и весьма перспективные для использования в квантовых вычислениях [2], [3], [5], [6].

В эксперименте возникновение МЛС главным образом связывается с появлением пика дифференциального кондактанса при нулевой разности потенциалов в топологической фазе одномерной сверхпроводящей структуры [7]–[10]. Однако в последние годы выяснилось, что подобный эффект возникает также в тривиальной фазе и вызван наличием андреевских локализованных состояний (АЛС) [11]–[14]. В связи с этим возникает вопрос: что происходит с локализованными состояниями при переходе из топологической фазы в тривиальную (или наоборот)? Известно, например, что при таком переходе спины как электронных, так и дырочных компонент квазичастичных состояний изменяют свое направление на противоположное [15], [16]. Также в недавнем эксперименте [17] исследовалось возникновение пиков кондактанса в процессе топологического фазового перехода. Оказалось, что при закрытии сверхпроводящей щели, происходящем в таком переходе, в тривиальной фазе отсутствует пик кондактанса, а значит, отсутствуют и АЛС.

В настоящей статье рассматриваются три одномерные сверхпроводящие структуры: 1) с классической p -волновой сверхпроводимостью; 2) основная в экспериментах модель нанопроволоки с s -волновой сверхпроводимостью, порожденной объемным сверхпроводником благодаря эффекту близости в присутствии внешнего магнитного поля и спин-орбитального взаимодействия Рашбы; 3) граница двумерного топологического изолятора при наличии s -волнового сверхпроводящего порядка и внешнего магнитного поля. С целью получения строгих аналитических результатов вместо структуры S-N-S рассматриваем ее упрощенную модель сверхпроводник–(магнитная) примесь–сверхпроводник, причем примесь описывается дельта-образным потенциалом. Это приводит к сильному перекрытию волновых функций, в частности МЛС-подобные локализованные состояния не будут пространственно разделены, что исключает их использование в приложениях. Однако заметим, что эти состояния, вообще говоря, можно пространственно разделить с помощью внешнего магнитного поля [18], [19].

С помощью уравнения Боголюбова–де Жена (БдЖ) в статье изучается поведение возникающих в рассматриваемых структурах устойчивых состояний типа “электрон” (“дырка”) для первой модели и “электрон плюс дырка” для двух других моделей с энергиями вблизи границ сверхпроводящей щели (см. [20], [21]) при переходе системы из топологической фазы в тривиальную. Как известно, наличие топологической или тривиальной фазы определяется соотношением параметров системы, при этом в момент фазового перехода ширина сверхпроводящей щели уменьшается до нуля [2], [5]. Оказалось, что большую роль в фазовом переходе играют резонансные (распадающиеся) состояния, причем происходящий при этом переворот спинов [15], [16] происходит не мгновенно, и этот процесс связан с переходом локализованных

квазичастиц в резонансные и наоборот с изменением их энергий на противоположные. Кроме того, в статье объясняется установленное в эксперименте [17] отсутствие АЛС при закрытии щели в тривиальной фазе.

Далее под АЛС будут пониматься любые локализованные состояния, а под МЛС – АЛС с нулевой энергией, удовлетворяющие условиям сопряжения (см. ниже (2) или (22)), стандартные пространственно разделенные МЛС в рамках принятой простой модели возникнуть не могут из-за упомянутого перекрытия волновых функций.

2. СЛУЧАЙ p -ВОЛНОВОГО СВЕРХПРОВОДЯЩЕГО ПОРЯДКА

Гамильтониан БдЖ в рассматриваемом случае имеет вид

$$H = \begin{pmatrix} -\partial_x^2 - \mu & -\Delta\partial_x \\ \Delta\partial_x & \partial_x^2 + \mu \end{pmatrix}, \quad (1)$$

где $\Delta \neq 0$ – вещественный параметр сверхпроводящего порядка, μ – химический потенциал. Гамильтониан (1) действует на функции вида $\Psi(x) = (\psi_e(x), \psi_h(x))^T$, где индекс T означает транспонирование; $\psi_e(x)$ и $\psi_h(x)$ – электронная и дырочная компоненты соответственно. АЛС с нулевой энергией по определению является МЛС, если выполнено условие сопряжения [22]

$$\psi_e^*(x) = \psi_h(x). \quad (2)$$

Обозначая через F преобразование Фурье, для гамильтониана (1) в импульсном представлении получаем

$$\tilde{H}(p) - E = \begin{pmatrix} p^2 - \mu - E & -ip\Delta \\ ip\Delta & -p^2 + \mu - E \end{pmatrix},$$

где $\tilde{H}(p) = FHF^{-1}$, E – энергия квазичастицы. Закон дисперсии $\det(\tilde{H}(p) - E) = 0$ имеет вид

$$E^2 = \left(p^2 - \mu + \frac{\Delta^2}{2} \right)^2 + \mu\Delta^2 - \frac{\Delta^4}{4}. \quad (3)$$

В случае $\mu < \Delta^2/2$ спектр H определяется неравенством $|E| \geq |\mu|$. В дальнейшем предполагаем, что

$$|\mu| \ll |\Delta|, \quad (4)$$

так что сверхпроводящая щель, равная $(-|\mu|, |\mu|)$, мала. Функция Грина гамильтониана H имеет вид [21], [23]

$$G(x - x', E) = \begin{pmatrix} -g_+^{(1)} e^{ip_+|x-x'|} - g_-^{(2)} e^{ip_-|x-x'|} & \frac{\Delta}{4a} (e^{ip_+|x-x'|} - e^{ip_-|x-x'|}) \times \\ & \times \operatorname{sgn}(x - x') \\ -\frac{\Delta}{4a} (e^{ip_+|x-x'|} - e^{ip_-|x-x'|}) \times & g_-^{(1)} e^{ip_+|x-x'|} + g_+^{(2)} e^{ip_-|x-x'|} \\ & \times \operatorname{sgn}(x - x') \end{pmatrix}, \quad (5)$$

где

$$\begin{aligned} a &= \sqrt{E^2 + \frac{\Delta^4}{4} - \mu\Delta^2}, & p_{\pm} &= \sqrt{\mu \pm a - \frac{\Delta^2}{2}}, \\ g_{\pm}^{(1)} &= \frac{a - \Delta^2/2 \pm E}{4ip_+ a}, & g_{\pm}^{(2)} &= \frac{a + \Delta^2/2 \pm E}{4ip_- a}. \end{aligned} \quad (6)$$

Рассмотрим возмущенный гамильтониан $H + V$, где потенциал

$$V = Z \begin{pmatrix} 1 & 0 \\ 0 & -1 \end{pmatrix} \delta(x) \quad (7)$$

описывает примесь; здесь Z – вещественный параметр, $\delta(x)$ – дельта-функция Дирака.

Будем рассматривать энергии E локализованных или резонансных (с конечным временем жизни) состояний такие, что

$$|E| < |\mu|. \quad (8)$$

Пользуясь (4), (6), (8), находим

$$a = \frac{\Delta^2}{2} - \mu + \frac{E^2 - \mu^2}{\Delta^2}, \quad (9)$$

откуда согласно (6) имеем

$$p_+ = \frac{i\sqrt{\mu^2 - E^2}}{|\Delta|}, \quad p_- = i|\Delta|. \quad (10)$$

Следовательно (см. (5), (6)), точки $E = \pm\mu$ являются точками ветвления функции Грина $G(x - x', E)$. В силу (8) локализованным состояниям отвечает положительный корень в (10), вследствие чего их волновые функции экспоненциально убывают. На втором листе функции Грина находятся резонансные состояния; перед корнем в (10) появляется знак $-$, и волновые функции экспоненциально возрастают; время жизни состояния обратно пропорционально $|p_+|$ [24], [25] (подробнее см. в конце раздела). Как локализованные, так и резонансные состояния будем изучать с помощью уравнения Дайсона

$$\Psi = -(H - E)^{-1}V\Psi. \quad (11)$$

Предположим вначале, что система находится в топологической фазе $\mu > 0$ (см. [2], [5]). Используя (3)–(10), запишем (11) в виде

$$\begin{aligned} \psi_e(x) &= \frac{Z}{2\Delta} \left(\left(\sqrt{\frac{\mu - E}{\mu + E}} e^{ip_+|x|} - e^{ip_-|x|} \right) \operatorname{sgn}(\Delta) \psi_e(0) + (e^{ip_+|x|} - e^{ip_-|x|}) \operatorname{sgn}(x) \psi_h(0) \right), \\ \psi_h(x) &= \frac{Z}{2\Delta} \left((e^{ip_+|x|} - e^{ip_-|x|}) \operatorname{sgn}(x) \psi_e(0) + \left(\sqrt{\frac{\mu + E}{\mu - E}} e^{ip_+|x|} - e^{ip_-|x|} \right) \operatorname{sgn}(\Delta) \psi_h(0) \right). \end{aligned} \quad (12)$$

В дальнейшем нас интересуют только устойчивые АЛС, возникающие при малых Z . Полагая в (12) $x = 0$, получаем, что система (12) имеет ненулевое решение, если

$$\frac{Z}{2|\Delta|} \left(\sqrt{\frac{\mu - E}{\mu + E}} - 1 \right) = 1, \quad \psi_h(0) = 0 \quad (13)$$

или

$$\frac{Z}{2|\Delta|} \left(\sqrt{\frac{\mu + E}{\mu - E}} - 1 \right) = 1, \quad \psi_e(0) = 0. \quad (14)$$

Перепишем первое равенство (13) в виде

$$2|\Delta|\sqrt{\mu + E} = Z(\sqrt{\mu - E} - \sqrt{\mu + E}).$$

Следовательно, для малых $Z > 0$ существует энергетический уровень (здесь и далее отбрасываем несущественные малые слагаемые)

$$E = -\mu \left(1 - \frac{Z^2}{2\Delta^2} \right), \quad (15)$$

причем он находится вблизи нижней границы щели. Из (10), (15) следует, что

$$p_+ = \frac{i|\mu||Z|}{\Delta^2} \quad (16)$$

(значение p_- одно и то же для всех случаев). Пользуясь (12), (13), находим волновую функцию для нижнего уровня $\Psi(x) = (1, 0)^T e^{ip_+|x|}$, это электроноподобная слабо локализованная квазичастица.

Уравнения (14) описывают АЛС вблизи верхней границы. Аналогично находим

$$E = \mu \left(1 - \frac{Z^2}{2\Delta^2} \right)$$

для малых $Z > 0$ и волновую функцию $\Psi(x) = (0, 1)^T e^{ip_+|x|}$, описывающую слабо локализованную дырочноподобную квазичастицу.

В случае тривиальной фазы $\mu < 0$ аналогично получаем для верхнего уровня равенство

$$E = |\mu| \left(1 - \frac{Z^2}{2\Delta^2} \right) \quad (17)$$

при условии $Z < 0$, причем равенство (16) остается справедливым, а волновая функция имеет вид $\Psi(x) = (1, 0)^T e^{ip_+|x|}$. Нижний уровень описывается равенством (17) при замене E на $-E$ и при $Z < 0$. При этом $\Psi(x) = (0, 1)^T e^{ip_+|x|}$.

При уменьшении $\mu > 0$ до нуля два АЛС, отвечающие двум граничным точкам энергетической щели, в пределе образуют два состояния с волновой функцией, не зависящей от x вида $(1, \pm 1)^T$.

Заметим, что, в отличие от статьи [21], в которой величина μ , характеризующая фазу и энергетическую щель, предполагалась постоянной, здесь предполагается постоянной величина Z , а μ для реализации фазового перехода изменяется от положительных до отрицательных значений. В простом случае p -волновой сверхпроводимости здесь, в отличие от разделов 3, 4, это не приводит к существенным изменениям предположений и результатов по сравнению с работой [20].

Рассмотрим для определенности первое равенство в (13), описывающее нижнюю границу щели в топологической фазе. Из него видно, что для малых μ мала также

и величина $\varepsilon = \mu + E$, т. е. энергия АЛС, отсчитываемая от нижней границы щели. Приближенно запишем это равенство в виде

$$\sqrt{\varepsilon} = \frac{\sqrt{\mu}Z}{\sqrt{2}|\Delta|}. \quad (18)$$

Отсюда в силу (10) получаем

$$p_+ = \frac{i\sqrt{\varepsilon}\sqrt{2\mu}}{|\Delta|},$$

и первое равенство в (12) можно приближенно записать в виде

$$\psi_e(x) = \frac{Z\sqrt{2\mu}}{2\Delta\sqrt{\varepsilon}} e^{-\sqrt{\varepsilon}(\sqrt{2\mu}/|\Delta|)|x|}, \quad (19)$$

где $\sqrt{\varepsilon}$ – импульс частицы (относительно границы щели). С точностью до множителей функция $\psi_e(x)$ представляет собой функцию Грина гамильтониана $-\partial_x^2$

$$-\frac{1}{2ip} e^{ip|x-x'|}$$

при $x' = 0$. Переходя на второй лист римановой поверхности функции $\sqrt{\varepsilon}$ (совпадающей с римановой поверхностью функции Грина) с разрезом вдоль $(0, \infty)$, т. е. прибавляя 2π к аргументу функции $\sqrt{\varepsilon}$, получим изменение знака корня с $+$ на $-$. В силу (19) это приведет к экспоненциальному росту волновой функции, т. е. к превращению локализованного состояния в резонансное, при этом согласно (18) для существования уровня знак Z нужно изменить на противоположный.

Итак, в топологической фазе первое уравнение в (12) порождает электроноподобное АЛС для $Z > 0$ и резонансное электроноподобное состояние для $Z < 0$ с энергиями вблизи нижней границы щели. Аналогично второе уравнение (12) порождает дырочноподобное АЛС для $Z > 0$ и резонансное дырочноподобное состояние для $Z < 0$ с энергиями вблизи верхней границы щели. В тривиальной фазе электроны и дырки меняются местами, а знаки Z при этом меняются на противоположные.

В случае $Z > 0$ при переходе из топологической фазы в тривиальную электрон на нижней границе щели и дырка на верхней границе превращаются в резонансные состояния, причем электрон оказывается на верхней границе, а дырка – на нижней. Это же происходит при $Z < 0$, если локализованные и резонансные состояния поменять местами (см. рис. 1).

3. СВЕРХПРОВОДЯЩАЯ s -ВОЛНОВАЯ НАНОПРОВОЛОКА

Рассмотрим гамильтониан БдЖ для сверхпроводящей нанопроволоки [2], [22], [26], [27] вида

$$H_s = \begin{pmatrix} -\sigma_0 \partial_x^2 + M\sigma_z - i\alpha\sigma_y \partial_x & i\sigma_y \Delta \\ -i\sigma_y \Delta & \sigma_0 \partial_x^2 - M\sigma_z - i\alpha\sigma_y \partial_x \end{pmatrix}, \quad (20)$$

где σ_0 – единичная матрица размера 2×2 , $\sigma_{x,y,z}$ – матрицы Паули, $\Delta = \text{const} \neq 0$ – параметр сверхпроводящего порядка, M описывает поперечное поле Зеемана, α – величина спин-орбитального взаимодействия Рашбы. Гамильтониан H_s описывает

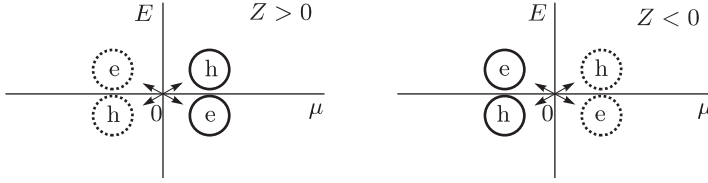


Рис. 1. Поведение квазичастиц при топологическом фазовом переходе в случае p -волновой сверхпроводимости; e обозначает электрон, h – дырку, сплошная граница отвечает локализованному состоянию, пунктирная – резонансному.

структуру с s -волновой сверхпроводимостью, индуцированной благодаря эффекту близости “материнским” сверхпроводником. Гамильтониан действует на спиноры Намбу вида

$$\Psi(x) = (\psi_{e\uparrow}(x), \psi_{e\downarrow}(x), \psi_{h\uparrow}(x), \psi_{h\downarrow}(x))^T, \quad (21)$$

где стрелка \uparrow (\downarrow) указывает направление спина вверх (вниз), первые две и последние две компоненты описывают электроны и дырки соответственно. Под МЛС в данном случае понимаются АЛС с нулевой энергией, описываемые волновыми функциями вида (21), удовлетворяющими условиям сопряжения [1], [22], [28]

$$\psi_{e\uparrow}(x)^* = \psi_{h\downarrow}(x), \quad \psi_{e\downarrow}(x)^* = \psi_{h\uparrow}(x). \quad (22)$$

Рассматриваются частицы с малыми импульсами p , поэтому в дальнейшем пренебрегаем величинами p^γ , $\gamma > 2$.

В импульсном представлении имеем

$$\tilde{H}_s(p) = \begin{pmatrix} \sigma_0 p^2 + M\sigma_z + \alpha\sigma_y p - \sigma_0 E & i\sigma_y \Delta \\ -i\sigma_y \Delta & -\sigma_0 p^2 - M\sigma_z + \alpha\sigma_y p - \sigma_0 E \end{pmatrix}.$$

С учетом сделанного приближения

$$\det(\tilde{H}_s(p) - E) = 2\alpha^2(M^2 - \Delta^2 - E^2)(p^2 - a^2),$$

где

$$a^2 = \frac{4\Delta^2 E^2 - (M^2 - \Delta^2 - E^2)^2}{2\alpha^2(M^2 - \Delta^2 - E^2)}. \quad (23)$$

Закон дисперсии $\det(\tilde{H}_s(p) - E) = 0$ имеет вид [21]

$$E^2 = (\Delta \pm \sqrt{M^2 + \alpha^2 p^2}).$$

Следовательно, спектр H_s описывается неравенством $|E| \geq ||M| - |\Delta||$. Функция Грина гамильтониана H_s имеет вид [21]

$$G_s(x - x', E) = (g_{ij}(x - x', E))\Big|_{i,j=1}^4,$$

где

$$\begin{aligned}
g_{11}(x-x', E) &= -g_{33}(x-x', -E) = \frac{-(M+E)^2 + \Delta^2 + \alpha^2(M+E)}{2\alpha^2(M^2 - \Delta^2 - E^2)}\delta(x-x') - \\
&\quad - \frac{(-(M+E)^2 + \Delta^2 + \alpha^2(M+E))a^2 + (M-E)((M+E)^2 - \Delta^2)}{4ia\alpha^2(M^2 - \Delta^2 - E^2)}e^{ia|x-x'|}, \\
g_{12}(x-x', E) &= -g_{21}(x-x', E) = g_{34}(x-x', E) = -g_{43}(x-x', E) = \\
&= \frac{1}{4\alpha}e^{ia|x-x'|}\operatorname{sgn}(x-x'), \\
g_{13}(x-x', E) &= -g_{31}(x-x', E) = g_{24}(x-x', E) = -g_{42}(x-x', E) = \tag{24} \\
&= \frac{E\Delta}{2\alpha(M^2 - \Delta^2 - E^2)}e^{ia|x-x'|}\operatorname{sgn}(x-x'), \\
g_{14}(x-x', E) &= g_{41}(x-x', E) = -g_{23}(x-x', -E) = -g_{32}(x-x', -E) = \\
&= \frac{\Delta}{2(M^2 - \Delta^2 - E^2)}\delta(x-x') + \frac{\Delta(\alpha^2 a^2 + (M+E)^2 - \Delta^2)}{4ia\alpha^2(M^2 - \Delta^2 - E^2)}e^{ia|x-x'|}, \\
g_{22}(x-x', E) &= -g_{44}(x-x', -E) = \frac{-(M-E)^2 + \Delta^2 - \alpha^2(M-E)}{2\alpha^2(M^2 - \Delta^2 - E^2)}\delta(x-x') + \\
&\quad + \frac{((M-E)^2 - \Delta^2 + \alpha^2(M-E))a^2 + (M+E)((M-E)^2 - \Delta^2)}{4ia\alpha^2(M^2 - \Delta^2 - E^2)}e^{ia|x-x'|}.
\end{aligned}$$

Обозначим через

$$(\psi, \varphi) = \int_{-\infty}^{\infty} \psi(x)\varphi^*(x) dx$$

скалярное произведение. Пусть φ_0 – четная неотрицательная непрерывная функция, не равная нулю лишь в малой окрестности точки $x = 0$ и такая, что

$$\int_{\mathbb{R}} \varphi_0(x) dx = 1.$$

Далее будем рассматривать возмущенный гамильтониан $H_s + V$, где V – сепарабельный потенциал (см. [29], [30]), определяемый формулой

$$(V\Psi)(x) = (V_m\Psi)(x) = m((\psi_{e\uparrow}, \varphi_0), -(\psi_{e\downarrow}, \varphi_0), -(\psi_{h\uparrow}, \varphi_0), (\psi_{h\downarrow}, \varphi_0))^T \varphi_0(x) \tag{25}$$

или формулой

$$(V\Psi)(x) = (V_Z\Psi)(x) = Z((\psi_{e\uparrow}, \varphi_0), (\psi_{e\downarrow}, \varphi_0), -(\psi_{h\uparrow}, \varphi_0), -(\psi_{h\downarrow}, \varphi_0))^T \varphi_0(x). \tag{26}$$

В случае (25) потенциал V описывает локальное возмущение поля Зеемана, а в случае (26) – примесь.

Для функций, мало изменяющихся вблизи нуля, в том числе для волновых функций с малым импульсом, рассматриваемых ниже, сепарабельный потенциал действует подобно дельта-функции (использование самой дельта-функции здесь невозможно вследствие появления слагаемого с δ^2 из-за специфики функции Грина).

Собственные значения и собственные функции гамильтониана $H_s + V$ будем исследовать, как и в разделе 2, с помощью уравнения Дайсона

$$\Psi = -(H_s - E)^{-1} V \Psi. \quad (27)$$

Будем предполагать выполнение следующих условий:

$$M, \Delta, \alpha > 0, \quad |M - \Delta| \ll M(\Delta), \alpha^2, \quad (28)$$

а также условия для уровней

$$|E| < (1 + \sigma)|M - \Delta|, \quad \sigma > 0 \quad (29)$$

(для рассматриваемой в этом разделе модели энергии локализованных состояний могут выходить за пределы сверхпроводящей щели). Из (23), (28), (29) находим

$$a^2 = \frac{\Delta(E^2 - (M - \Delta)^2)}{\alpha^2(M - \Delta)} = O(M - \Delta). \quad (30)$$

Далее имеем

$$\begin{aligned} (M \pm E)^2 - \Delta^2 &= 2\Delta(M - \Delta \pm E) + O(M - \Delta)^2, \\ M^2 - \Delta^2 - E^2 &= 2\Delta(M - \Delta) + O(M - \Delta)^2. \end{aligned} \quad (31)$$

Рассмотрим сначала случай топологической фазы $M - \Delta > 0$ (см. [2], [5]). Предположим, что E находится внутри энергетической щели, т.е. $|E/(M - \Delta)| < 1$. С помощью (30), (31), равенства (24) приводятся к виду

$$\begin{aligned} g_{11}(x - x', E) &= -g_{33}(x - x', -E) = \frac{1}{4(M - \Delta)} \delta(x - x') + \\ &\quad + \frac{\sqrt{\Delta}(1 + E/(M - \Delta))^2}{8\alpha\sqrt{M - \Delta}\sqrt{1 - (E/(M - \Delta))^2}} e^{ia|x-x'|}, \\ g_{12}(x - x', E) &= -g_{21}(x - x', E) = g_{34}(x - x', E) = -g_{43}(x - x', E) = \\ &= \frac{1}{4\alpha} e^{ia|x-x'|} \operatorname{sgn}(x - x'), \\ g_{13}(x - x', E) &= -g_{31}(x - x', E) = g_{24}(x - x', E) = -g_{42}(x - x', E) = \\ &= \frac{E}{4\alpha(M - \Delta)} e^{ia|x-x'|} \operatorname{sgn}(x - x'), \\ g_{14}(x - x', E) &= g_{41}(x - x', E) = -g_{23}(x - x', -E) = -g_{32}(x - x', -E) = \\ &= -\frac{1}{4(M - \Delta)} \delta(x - x') - \frac{\sqrt{\Delta}(1 + E/(M - \Delta))^2}{8\alpha\sqrt{M - \Delta}\sqrt{1 - (E/(M - \Delta))^2}} e^{ia|x-x'|}, \\ g_{22}(x - x', E) &= -g_{44}(x - x', -E) = -\frac{1}{4(M - \Delta)} \delta(x - x') - \\ &\quad - \frac{\sqrt{\Delta}(1 - E/(M - \Delta))^2}{8\alpha\sqrt{M - \Delta}\sqrt{1 - (E/(M - \Delta))^2}} e^{ia|x-x'|}. \end{aligned} \quad (32)$$

Введем обозначения $x_{e\uparrow(\downarrow)} = (\psi_{e\uparrow(\downarrow)}, \varphi_0)$, $x_{h\uparrow(\downarrow)} = (\psi_{h\uparrow(\downarrow)}, \varphi_0)$. Выбирая потенциал (25) и используя (32), запишем уравнение Дайсона (27) в виде

$$\begin{aligned}
\psi_{e\uparrow} &= \frac{m}{4} \left(-\frac{x_{e\uparrow}}{M-\Delta} \varphi_0(x) - \frac{\sqrt{\Delta}(1+E/(M-\Delta))^2 x_{e\uparrow} e^{ia|x|}}{2\alpha\sqrt{M-\Delta}\sqrt{1-(E/(M-\Delta))^2}} + \right. \\
&\quad + \frac{\operatorname{sgn}(x)e^{ia|x|x_{e\downarrow}}}{\alpha} + \frac{E \operatorname{sgn}(x)e^{ia|x|x_{h\uparrow}}}{\alpha(M-\Delta)} + \\
&\quad \left. + \frac{x_{h\downarrow}}{M-\Delta} \varphi_0(x) + \frac{\sqrt{\Delta}(1+E/(M-\Delta))^2 x_{h\downarrow} e^{ia|x|}}{2\alpha\sqrt{M-\Delta}\sqrt{1-(E/(M-\Delta))^2}} \right), \\
\psi_{e\downarrow} &= \frac{m}{4} \left(\frac{\operatorname{sgn}(x)e^{ia|x|x_{e\uparrow}}}{\alpha} - \frac{x_{e\downarrow}}{M-\Delta} \varphi_0(x) - \right. \\
&\quad - \frac{\sqrt{\Delta}(1-E/(M-\Delta))^2 x_{e\downarrow} e^{ia|x|}}{2\alpha\sqrt{M-\Delta}\sqrt{1-(E/(M-\Delta))^2}} + \frac{x_{h\uparrow}}{M-\Delta} \varphi_0(x) + \\
&\quad \left. + \frac{\sqrt{\Delta}(1-E/(M-\Delta))^2 x_{h\uparrow} e^{ia|x|}}{2\alpha\sqrt{M-\Delta}\sqrt{1-(E/(M-\Delta))^2}} - \frac{E \operatorname{sgn}(x)e^{ia|x|x_{h\downarrow}}}{\alpha(M-\Delta)} \right), \\
\psi_{h\uparrow} &= \frac{m}{4} \left(\frac{E \operatorname{sgn}(x)e^{ia|x|x_{e\uparrow}}}{\alpha(M-\Delta)} + \frac{x_{e\downarrow}}{M-\Delta} \varphi_0(x) + \right. \\
&\quad + \frac{\sqrt{\Delta}(1-E/(M-\Delta))^2 x_{e\downarrow} e^{ia|x|}}{2\alpha\sqrt{M-\Delta}\sqrt{1-(E/(M-\Delta))^2}} - \frac{x_{h\uparrow}}{M-\Delta} \varphi_0(x) - \\
&\quad \left. - \frac{\sqrt{\Delta}(1-E/(M-\Delta))^2 x_{h\uparrow} e^{ia|x|}}{2\alpha\sqrt{M-\Delta}\sqrt{1-(E/(M-\Delta))^2}} - \frac{\operatorname{sgn}(x)e^{ia|x|x_{h\downarrow}}}{\alpha} \right), \\
\psi_{h\downarrow} &= \frac{m}{4} \left(\frac{x_{e\uparrow}}{M-\Delta} \varphi_0(x) + \frac{\sqrt{\Delta}(1+E/(M-\Delta))^2 x_{e\uparrow} e^{ia|x|}}{2\alpha\sqrt{M-\Delta}\sqrt{1-(E/(M-\Delta))^2}} + \right. \\
&\quad + \frac{E \operatorname{sgn}(x)e^{ia|x|x_{e\downarrow}}}{\alpha(M-\Delta)} + \frac{\operatorname{sgn}(x)e^{ia|x|x_{h\uparrow}}}{\alpha} - \\
&\quad \left. - \frac{x_{h\downarrow}}{M-\Delta} \varphi_0(x) - \frac{\sqrt{\Delta}(1+E/(M-\Delta))^2 x_{h\downarrow} e^{ia|x|}}{2\alpha\sqrt{M-\Delta}\sqrt{1-(E/(M-\Delta))^2}} \right).
\end{aligned} \tag{33}$$

Умножая уравнения (33) скалярно на $\varphi_0(x)$ и полагая $C = (\varphi_0, \varphi_0)$, получаем две независимые линейные системы. Первая система имеет вид

$$\begin{pmatrix}
1 + \frac{m}{4} \left(\frac{C}{M-\Delta} + \frac{\sqrt{\Delta}(1+E/(M-\Delta))^2}{2\alpha\sqrt{M-\Delta}\sqrt{1-(E/(M-\Delta))^2}} \right) & -\frac{m}{4} \left(\frac{C}{M-\Delta} + \frac{\sqrt{\Delta}(1+E/(M-\Delta))^2}{2\alpha\sqrt{M-\Delta}\sqrt{1-(E/(M-\Delta))^2}} \right) \\
-\frac{m}{4} \left(\frac{C}{M-\Delta} + \frac{\sqrt{\Delta}(1+E/(M-\Delta))^2}{2\alpha\sqrt{M-\Delta}\sqrt{1-(E/(M-\Delta))^2}} \right) & 1 + \frac{m}{4} \left(\frac{C}{M-\Delta} + \frac{\sqrt{\Delta}(1+E/(M-\Delta))^2}{2\alpha\sqrt{M-\Delta}\sqrt{1-(E/(M-\Delta))^2}} \right)
\end{pmatrix} \times$$

$$\times (x_{e\uparrow}, x_{h\downarrow})^T = 0, \tag{34}$$

вторая система получается из (34) заменами $E \rightarrow -E$, $(x_{e\uparrow}, x_{h\downarrow})^T \rightarrow (x_{e\downarrow}, x_{h\uparrow})^T$. Выпишем условие существования ненулевого решения системы (34):

$$1 + \frac{m}{2} \left(\frac{C}{M-\Delta} + \frac{\sqrt{\Delta}(1+E/(M-\Delta))^2}{2\alpha\sqrt{M-\Delta}\sqrt{1-(E/(M-\Delta))^2}} \right) = 0,$$

что эквивалентно

$$4\alpha(M - \Delta)\sqrt{1 - \frac{E}{M - \Delta}} + 2\alpha m C \sqrt{1 - \frac{E}{M - \Delta}} + m\sqrt{\Delta}\sqrt{M - \Delta}\left(1 + \frac{E}{M - \Delta}\right)^{3/2} = 0. \quad (35)$$

Пусть $m = \text{const}$, $M - \Delta \approx 0$, тогда (35) можно записать в виде

$$2\alpha C \sqrt{1 - \frac{E}{M - \Delta}} = -\sqrt{\Delta(M - \Delta)}\left(1 + \frac{E}{(M - \Delta)}\right)^{3/2}. \quad (36)$$

Следовательно, для того чтобы энергетический уровень существовал, корень в левой части (36) должен быть отрицательным. Из (36) вытекает, что E находится вблизи верхней границы щели $M - \Delta$. В силу (36) имеем

$$4\alpha^2 C^2 \left(1 - \frac{E}{M - \Delta}\right) = \Delta(M - \Delta) \left(1 + \frac{E}{M - \Delta}\right)^3. \quad (37)$$

Положим $x = 1 - E/(M - \Delta)$ и рассмотрим (37) как уравнение на неподвижную точку [31]

$$x = f(x),$$

где $f(x) = (\Delta/(4\alpha^2 C^2))(M - \Delta)(2 - x)^3$. Легко видеть, что $f(x)$ – сжимающее отображение в окрестности нуля [31]. При этом коэффициент перед $(2 - x)^3$ сколь угодно мал, поэтому можно ограничиться первым приближением. В качестве нулевого приближения естественно выбрать $x_0 = 0$, тогда первое приближение имеет вид $x_1 = 2\Delta(M - \Delta)/(\alpha^2 C^2)$. Таким образом, с учетом отрицательности корня равенство (37) принимает следующий вид:

$$\sqrt{1 - \frac{E}{M - \Delta}} \approx -\frac{\sqrt{2\Delta(M - \Delta)}}{\alpha C}. \quad (38)$$

Заметим, что формула (38) существенно отличается от аналогичной формулы в работе [21], полученной для $M - \Delta = \text{const}$ и $m \rightarrow 0$.

При выполнении (38) уравнение (34) принимает вид

$$\begin{pmatrix} 1 & 1 \\ 1 & 1 \end{pmatrix} \begin{pmatrix} x_{e\uparrow} \\ x_{h\downarrow} \end{pmatrix} = 0,$$

откуда $x_{e\uparrow} = -x_{h\downarrow}$. Положим $x_{e\uparrow} = -x_{h\downarrow} = 1$. Согласно (30), (38) (учитываем также знак корня в левой части (38)) имеем $a = -i\sqrt{\varepsilon\Delta}/\alpha$, где $\sqrt{\varepsilon\Delta} > 0$, $\varepsilon = M - \Delta - E$ (с точностью до знака величина ε – энергия, отсчитываемая от верхней границы энергетической щели). Из (33), пренебрегая слагаемыми с коэффициентами порядка единицы перед экспонентами, а также слагаемым $-m/(2(M - \Delta))\varphi_0(x)$, поскольку его норма в $L^2(-\infty, \infty)$ конечна, в отличие от оставшегося слагаемого, получаем

$$\psi_{e\uparrow}(x) = -\psi_{h\downarrow}(x) = -\frac{m\sqrt{\Delta}}{\alpha\sqrt{2\varepsilon}} e^{(\sqrt{2\varepsilon\Delta}/\alpha)|x|}. \quad (39)$$

Выражение (39) с точностью до коэффициентов является функцией Грина гамильтониана $-\partial_x^2$ с энергией на втором листе римановой поверхности (см. раздел 2). Таким образом, волновая функция рассматриваемого состояния имеет вид $\Psi(x) = (1, 0, 0, -1)^T e^{(\sqrt{2\varepsilon\Delta}/\alpha)|x|}$, и это состояние является резонансным.

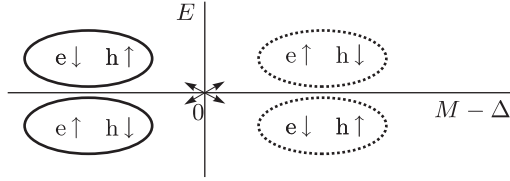


Рис. 2. Поведение квазичастиц “электрон плюс дырка” при топологическом фазовом переходе в случае s -волновой сверхпроводимости; стрелки \uparrow , \downarrow показывают направление спина, e обозначает электрон, h – дырку, сплошная граница отвечает локализованному состоянию, пунктирная – резонансному.

Для энергии вблизи нижней границы щели $-(M - \Delta)$ имеем уравнение (38) и волновую функцию вида $\Psi(x) = (0, 1, -1, 0)^T e^{(\sqrt{2\varepsilon\Delta}/\alpha)|x|}$ с заменой E на $-E$.

В пределе $M - \Delta \rightarrow 0$ получим два не зависящих от x состояния вида $\Psi_1(x) = (1, 0, 0, -1)^T$, $\Psi_2(x) = (0, 1, -1, 0)^T$.

Потенциал (26) не порождает каких-либо состояний в энергетической щели, так как определитель системы (34) при замене t на соответствующие $\pm Z$ равен единице.

В случае тривиальной фазы имеем $M - \Delta < 0$ [2], [5]. При этом согласно (30) необходимо считать, что $|E| > |M - \Delta|$, иначе волновые функции не относятся ни к локализованным, ни к резонансным состояниям.

В тривиальной фазе уровни, близкие к нижней границе щели, описываются равенством

$$E = -|M - \Delta| \left(1 + \frac{2\Delta|M - \Delta|}{\alpha^2 C^2} \right), \quad (40)$$

а волновая функция локализована и имеет вид $\Psi(x) = (1, 0, 0, -1)^T e^{-(\sqrt{2\Delta}/\alpha)\sqrt{\varepsilon}|x|}$, где $\varepsilon = -E - |M - \Delta|$. Для верхней границы, после замены E на $-E$, уровень описывается формулой (40), $\Psi(x) = (0, 1, -1, 0)^T e^{-(\sqrt{2\Delta}/\alpha)\sqrt{\varepsilon}|x|}$.

Итак, при закрытии щели в топологической фазе энергия $E \approx M - \Delta$ резонансной квазичастицы, описываемой волновой функцией $(1, 0, 0, -1)^T e^{(\sqrt{2\varepsilon\Delta}/\alpha)|x|}$, будучи внутри щели, уменьшается до нуля (см. рис. 2), при этом время жизни квазичастицы растет до бесконечности. Далее в тривиальной фазе энергия опускается ниже нуля, выходя из щели в непрерывный спектр уже вблизи нижней границы ($E \approx -(\Delta - M)$), при этом локализация квазичастицы вблизи $x = 0$ растет. Аналогично энергия резонансной квазичастицы с волновой функцией $(0, 1, -1, 0)^T e^{(\sqrt{2\varepsilon\Delta}/\alpha)|x|}$ поднимается по оси E , и квазичастица становится локализованной. В обоих случаях сохраняется направление спинов у электрона и дырки. Мгновенного “переворота” спинов нет; смена направления спинов – следствие процесса, в котором квазичастицы меняются местами.

Рассмотренную модель при $M - \Delta \approx 0$ можно приблизить к более реалистичной модели s -волновой нанопроволоки, описывающей структуру “нормальный металл–сверхпроводник–нормальный металл”, где длина сверхпроводящего участка достаточно велика. Для этого следует расширить область действия локального магнитного поля и, изменяя параметр t , перейти к другой фазе в этой области (см. [18], [19]). Тогда два перекрывающиеся состояния с энергиями вблизи границ щели, будучи майораноподобными, должны сдвинуться соответственно к двум граничным

точкам области действия локального поля, так как в этих точках изменяется топологическая фаза.

В случае тривиальной фазы при действии потенциала (25) энергии квазичастиц находятся вне щели в непрерывном спектре, такие локализованные частицы неустойчивы и легко переходят в резонансные состояния [32], внутри же щели устойчивых локализованных состояний нет. Таким образом, при топологическом фазовом переходе из тривиальной фазы в топологическую пик кондактанса вплоть до закрытия щели должен отсутствовать, что подтверждается экспериментом [17]. С другой стороны, в топологической фазе при очень малой энергетической щели время жизни резонансных квазичастиц, энергии которых принадлежат этой щели, практически бесконечно, так что эти частицы способны породить пик кондактанса, что и наблюдается в данном эксперименте.

4. СЛУЧАЙ СВЕРХПРОВОДЯЩЕЙ ГРАНИЦЫ ТОПОЛОГИЧЕСКОГО ИЗОЛЯТОРА

Рассмотрим гамильтониан БдЖ для s -волновой сверхпроводящей границы двумерного топологического изолятора [5], [22], [33]–[36]

$$H_{\text{TI}} = \begin{pmatrix} -i\sigma_x \partial_x + M\sigma_z & i\sigma_y \Delta \\ -i\sigma_y \Delta & -i\sigma_x \partial_x - M\sigma_z \end{pmatrix}, \quad (41)$$

где $\Delta = \text{const} \neq 0$ – вещественный спаривающий потенциал, M – параметр поперечного поля Зеемана. Гамильтониан (41), как и в разделе 3, действует на спиноры вида (21). Закон дисперсии имеет вид

$$E^2 = (M \pm \Delta)^2 + p^2, \quad (42)$$

так что спектр H_{TI} определяется неравенством $|E| \geq ||M| - |\Delta||$.

Как и выше, для нахождения энергетических уровней E и соответствующих волновых функций будем использовать уравнение Дайсона

$$\Psi = -(H_{\text{TI}} - E)^{-1} V \Psi, \quad (43)$$

где

$$V = V_m = m \begin{pmatrix} \sigma_z & 0 \\ 0 & -\sigma_z \end{pmatrix} \delta(x) \quad (44)$$

или

$$V = V_Z = Z \begin{pmatrix} \sigma_0 & 0 \\ 0 & -\sigma_0 \end{pmatrix} \delta(x), \quad (45)$$

σ_0 – единичная матрица размера 2×2 . Потенциал (44) моделирует локальное изменение поля Зеемана, а потенциал (45) – примесь. Функция Грина потенциала H_{TI} имеет вид [20]

$$G(x - x', E) = \frac{1}{4} \begin{pmatrix} g_E^+(x - x') & g^+(x - x') & g^-(x - x') & g_E^-(x - x') \\ g^+(x - x') & -g_{-E}^+(x - x') & -g_{-E}^-(x - x') & g^-(x - x') \\ g^-(x - x') & -g_{-E}^-(x - x') & -g_{-E}^+(x - x') & g^+(x - x') \\ g_E^-(x - x') & g^-(x - x') & g^+(x - x') & g_E^+(x - x') \end{pmatrix}, \quad (46)$$

где

$$g_E^\pm(x-x') = \sqrt{\frac{M+\Delta+E}{M+\Delta-E}} e^{ip_1|x-x'|} \pm \operatorname{sgn}(M-\Delta) \sqrt{\frac{M-\Delta+E}{M-\Delta-E}} e^{ip_2|x-x'|},$$

$$g^\pm(x-x') = i(e^{ip_1|x-x'|} \pm e^{ip_2|x-x'|}) \operatorname{sgn}(x-x'),$$

а $p_{1,2}$ находятся из закона (42) так, чтобы функция Грина убывала на бесконечности.

Далее предполагается, что $M, \Delta > 0$, $|M-\Delta| \ll M(\Delta)$ и $|E| < |M-\Delta|$. Тогда из (42) находим

$$p_1 = \pm \sqrt{E^2 - (M+\Delta)^2} \approx \pm 2i\Delta,$$

$$p_2 = \pm \sqrt{E^2 - (M-\Delta)^2} \approx \pm i\sqrt{(M-\Delta)^2 - E^2}. \quad (47)$$

Рассмотрим гамильтониан с потенциалом (44) для топологической фазы $\Delta - M > 0$ [2], [5]. Будем искать энергии АЛС вблизи границ щели, предполагая, что $|E| < \Delta - M$. Положим $\varepsilon = \Delta - M - E$. Пользуясь (46), (47) и пренебрегая при этом слагаемыми с коэффициентами порядка единицы и более по параметру ε , запишем функцию Грина (46) в виде

$$G(x-x', E) = \frac{\sqrt{\Delta - M} e^{ip_2|x-x'|}}{2\sqrt{2\varepsilon}} \begin{pmatrix} 0 & 0 & 0 & 0 \\ 0 & 1 & -1 & 0 \\ 0 & -1 & 1 & 0 \\ 0 & 0 & 0 & 0 \end{pmatrix}. \quad (48)$$

Уравнение Дайсона (43) согласно (44), (48) примет вид

$$\psi_{e\downarrow}(x) = -\psi_{h\uparrow}(x) = \frac{m\sqrt{\Delta - M} e^{ip_2|x|}}{2\sqrt{2\varepsilon}} (\psi_{e\downarrow}(0) - \psi_{h\uparrow}(0)). \quad (49)$$

Выпишем в случае малых $m > 0$ условие существования ненулевого решения системы (49):

$$1 - \frac{m\sqrt{\Delta - M}}{\sqrt{2\varepsilon}} = 0. \quad (50)$$

Из (50) получаем

$$E = (\Delta - M) \left(1 - \frac{m^2}{2}\right) \approx \Delta - M. \quad (51)$$

В силу (47), (49) волновая функция АЛС имеет вид

$$\Psi(x) = (0, 1, -1, 0)^T e^{-\sqrt{2\varepsilon(\Delta - M)}|x|}.$$

Заменяя E на $-E$, получаем из (51) формулу для уровня $E \approx -(\Delta - M)$, а также выражение для волновой функции соответствующего АЛС:

$$\Psi(x) = (1, 0, 0, -1)^T e^{-\sqrt{2\varepsilon(\Delta - M)}|x|}$$

при условии $m < 0$ (смена знака m обусловлена видом потенциала (44)).

В тривиальной фазе $M - \Delta > 0$ и функция Грина принимает вид

$$G(x - x', E) = \frac{\sqrt{M - \Delta} e^{ip_2|x-x'|}}{2\sqrt{2\varepsilon}} \begin{pmatrix} 1 & 0 & 0 & -1 \\ 0 & 0 & 0 & 0 \\ 0 & 0 & 0 & 0 \\ -1 & 0 & 0 & 1 \end{pmatrix},$$

где $\varepsilon = M - \Delta - E > 0$. Как и выше, для $E \approx M - \Delta$ получаем условие существования уровня

$$1 + \frac{m\sqrt{M - \Delta}}{\sqrt{2\varepsilon}} = 0, \quad (52)$$

откуда следует, что m мало и $m < 0$. Выпишем волновую функцию

$$\Psi(x) = (1, 0, 0, -1)^T e^{-\sqrt{2\varepsilon(M-\Delta)}|x|}.$$

Для $E \approx -(M - \Delta)$ имеем $m > 0$, в (52) и в ε меняем E на $-E$, волновая функция принимает вид $\Psi(x) = (0, 1, -1, 0)^T e^{-\sqrt{2\varepsilon(M-\Delta)}|x|}$.

Во всех рассмотренных случаях в составе функции Грина для границы топологического изолятора имеется выражение вида

$$\frac{\sqrt{|M - \Delta|}}{2\sqrt{2\varepsilon}} e^{-\sqrt{2\varepsilon|M-\Delta||x-x'|}}, \quad (53)$$

где ε – с точностью до знака – энергия вблизи границы щели. Выражение (53) представляет собой, как и в предыдущих разделах (с точностью до постоянных множителей), функцию Грина оператора $-\partial_x^2$. При переходе на второй лист римановой поверхности функции Грина $G_{\text{ГП}}(x - x', E)$ получаем изменение знака $\sqrt{\varepsilon}$, т. е. согласно (50), (52) при одновременном изменении знака m переход квазичастицы в резонансное состояние.

В случае потенциала (45), как и в разделе 3, уравнение Дайсона не имеет ненулевых решений.

Таким образом, при $m > 0$ при переходе из топологической фазы в тривиальную АЛС с энергией вблизи верхней границы щели переходит в АЛС с энергией вблизи нижней границы с сохранением спинов у электрона и дырки, а резонансная квазичастица с противоположными спинами с энергией вблизи нижней границы – в резонансную квазичастицу с энергией вблизи верхней границы. При $m < 0$ происходит то же самое, но при этом резонансные и локализованные квазичастицы меняются местами (см. рис. 3).

5. ЗАКЛЮЧЕНИЕ

В статье рассмотрены наиболее распространенные при исследовании майорановских состояний одномерные сверхпроводящие структуры. С помощью функции Грина гамильтониана БдЖ и уравнения Дайсона аналитически изучаются энергетические уровни и волновые функции возникающих в данных структурах при возмущении гамильтониана устойчивых состояний с энергиями вблизи границ сверхпроводящей щели при переходе из топологической фазы в тривиальную. Оказывается, что в фазовом переходе большую роль играют резонансные (распадающиеся) состояния,

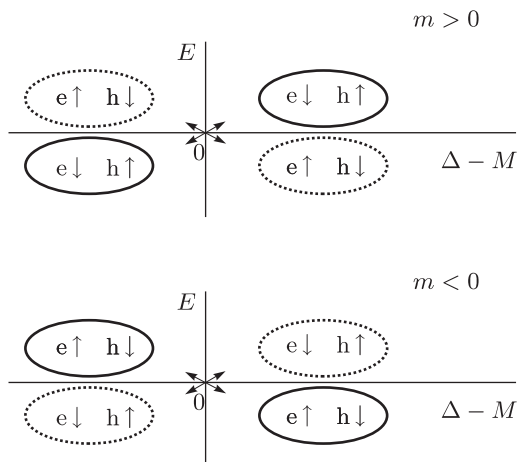


Рис. 3. Поведение квазичастиц “электрон плюс дырка” при топологическом фазовом переходе в случае топологического изолятора для разных знаков параметра m ; стрелки \uparrow, \downarrow показывают направление спина, e обозначает электрон, h – дырку, сплошная граница отвечает локализованному состоянию, пунктирная – резонансному.

причем происходящий при этом переворот спинов, а также изменение знака заряда на противоположный [15], [16] происходят при закрытии щели благодаря переходу локализованных состояний в резонансные и наоборот с изменением их энергий на противоположные (см. рис. 1–3). Результаты статьи согласуются с отсутствием пика кондактанса при нулевой разности потенциалов в тривиальной топологической фазе в недавнем эксперименте [17].

Конфликт интересов. Авторы заявляют, что у них нет конфликта интересов.

Список литературы

- [1] S. R. Elliot, M. Franz, “Colloquium: Majorana fermions in nuclear, particle, and solid-state physics”, *Rev. Modern Phys.*, **87**:1 (2015), 137–163.
- [2] J. Alicea, “New directions in the pursuit of Majorana fermions in solid state systems”, *Rep. Prog. Phys.*, **75**:7 (2012), 076501, 36 pp.
- [3] M. Sato, S. Fujimoto, “Majorana fermions and topology in superconductors”, *J. Phys. Soc. Japan*, **85**:7 (2016), 072001, 32 pp.
- [4] R. M. Lutchyn, E. P. A. M. Bakkers, L. P. Kouwenhoven, P. Krogstrup, C. M. Marcus, Y. Oreg, “Majorana zero modes in superconductor-semiconductor heterostructures”, *Nat. Rev. Mater.*, **3**:5 (2018), 52–68.
- [5] F. von Oppen, Y. Peng, F. Pientka, “Topological superconducting phases in one dimension”, *Topological Aspects of Condensed Matter Physics: Lecture Notes of the Les Houches Summer School (École de Physique des Houches, Session CIII, 4–29 August, 2014)*, eds. C. Chamon, M. O. Goerbig, R. Moessner, L. F. Cugliandolo, Oxford Univ. Press, Oxford, 2017, 389–449.
- [6] S. Das Sarma, A. Nag, J. D. Sau, “How to infer non-Abelian statistics and topological visibility from tunneling conductance properties of realistic Majorana nanowires”, *Phys. Rev. B*, **94**:3 (2016), 035143, 17 pp.

- [7] K. Sengupta, I. Zutic, H.-J. Kwon, V. M. Yakovenko, S. Das Sarma, “Midgap edge states and pairing symmetry of quasi-one-dimensional organic superconductors”, *Phys. Rev. B*, **63**:14 (2001), 144531, 6 pp.
- [8] V. Mourik, K. Zuo, S. M. Frolov, S. R. Plissard, E. P. A. M. Bakkers, L. P. Kouwenhoven, “Signatures of Majorana fermions in hybrid superconductor-semiconductor nanowire devices”, *Science*, **336**:6084 (2012), 1003–1007.
- [9] A. Das, Y. Ronen, Y. Most, Y. Oreg, M. Heiblum, H. Shtrikman, “Zero-bias peaks and splitting in an Al–InAs nanowire topological superconductor as a signature of Majorana fermions”, *Nature Phys.*, **8** (2012), 887–895.
- [10] M. T. Deng, S. Vaitiėkenas, E. B. Hansen, J. Danon, M. Leijnse, K. Flensberg, J. Nygård, P. Krogstrup, C. M. Marcus, “Majorana bound state in a coupled quantum-dot hybrid-nanowire system”, *Science*, **354**:6319 (2016), 1557–1562.
- [11] C.-X. Liu, J. D. Sau, T. D. Stanescu, S. Das Sarma, “Andreev bound states versus Majorana bound states in quantum dot-nanowire-superconductor hybrid structures: Trivial versus topological zero-bias conductance peaks”, *Phys. Rev. B*, **96**:7 (2017), 075161, 20 pp.
- [12] C. Moore, C. Zeng, T. D. Stanescu, S. Tewari, “Quantized zero bias conductance plateau in semiconductor-superconductor heterostructures without non-Abelian Majorana zero modes”, *Phys. Rev. B*, **98** (2018), 155314, 6 pp., arXiv:1804.03164.
- [13] A. Vuik, B. Nijholt, A. R. Akhmerov, M. Wimmer, “Reproducing topological properties with quasi-Majorana states”, *SciPost Phys.*, **7** (2019), 061, 24 pp., arXiv:1806.02801.
- [14] Т. С. Тинюкова, Ю. П. Чубурин, “Роль майораноподобных локализованных состояний в андреевском отражении и эффекте Джозефсона в случае топологического изолятора”, *ТМФ*, **202**:1 (2020), 81–97.
- [15] P. Szumniak, D. Chevallier, D. Loss, J. Klinovaja, “Spin and charge signatures of topological superconductivity in Rashba nanowires”, *Phys. Rev. B*, **96**:4 (2017), 041401, 5 pp.
- [16] M. Serina, D. Loss, J. Klinovaja, “Boundary spin polarization as a robust signature of a topological phase transition in Majorana nanowires”, *Phys. Rev. B*, **98**:3 (2018), 035419, 10 pp.
- [17] D. Puglia, E. A. Martinez, G. C. Ménard et al., *Closing of the induced gap in a hybrid superconductor–semiconductor nanowire*, arXiv:2006.01275.
- [18] Yu. P. Chuburin, “Existence of Majorana bound states near impurities in the case of a small superconducting gap”, *Phys. E*, **89** (2017), 130–133.
- [19] Ю. П. Чубурин, “Существование майорановских локализованных состояний в сверхпроводящей нанопроволоке вблизи примеси”, *ТМФ*, **197**:2 (2018), 279–289.
- [20] Yu. P. Chuburin, T. S. Tinyukova, “The emergence of bound states in a superconducting gap at the topological insulator edge”, *Phys. Lett. A*, **384**:27 (2020), 126694, 7 pp.
- [21] Т. С. Тинюкова, Ю. П. Чубурин, “Взаимный переход андреевских и майорановских локализованных состояний в сверхпроводящей щели”, *ТМФ*, **205**:3 (2020), 484–501.
- [22] C. W. J. Beenakker, “Random-matrix theory of Majorana fermions and topological superconductors”, *Rev. Modern Phys.*, **87**:3 (2015), 1037–1066.
- [23] Т. С. Тинюкова, “Майорановские состояния вблизи примеси в p -волновой сверхпроводящей нанопроволоке”, *Вестн. Удмуртск. ун-та. Матем. Мех. Компьютер. науки*, **28**:2 (2018), 222–230.
- [24] Дж. Тейлор, *Теория рассеяния: квантовая теория нерелятивистских столкновений*, Мир, М., 1985.
- [25] Ю. П. Чубурин, “О малых возмущениях оператора Шредингера с периодическим потенциалом”, *ТМФ*, **110**:3 (1997), 443–453.
- [26] S. D. Sarma, A. Nag, J. D. Sau, “How to infer non-Abelian statistics and topological visibility from tunneling conductance properties of realistic Majorana nanowires”, *Phys. Rev. B*, **94**:3 (2016), 035143, 17 pp.

- [27] D. Chevallier, P. Simon, C. Bena, “From Andreev bound states to Majorana fermions in topological wires on superconducting substrates: A story of mutation”, *Phys. Rev. B*, **88**:16 (2013), 165401, 6 pp.
- [28] R. Aguado, “Majorana quasiparticles in condensed matter”, *Riv. Nuovo Cimento*, **40**:11 (2017), 523–593, arXiv:1711.00011.
- [29] Ю. Н. Демков, В. Н. Островский, *Метод потенциалов нулевого радиуса в атомной физике*, Изд-во Ленингр. ун-та, Л., 1975.
- [30] S. K. Adhikari, M. Casas, A. Puente, A. Rigo, M. Fortes, M. A. Solís, M. de Llano, A. A. Valladares, O. Rojo, “Linear to quadratic crossover of Cooper-pair dispersion relation”, *Phys. C*, **351**:4 (2001), 341–348.
- [31] Р. Эдвардс, *Функциональный анализ: теория и приложения*, Мир, М., 1969.
- [32] Ю. П. Чубурин, “Закон распада квазистационарного состояния оператора Шредингера для кристаллической пленки”, *ТМФ*, **151**:2 (2007), 248–260.
- [33] G. Tkachov, E. M. Hankiewicz, “Helical Andreev bound states and superconducting Klein tunneling in topological insulator Josephson junctions”, *Phys. Rev. B*, **88**:7 (2013), 075401, 8 pp., arXiv:1304.1893.
- [34] J. Linder, Yu. Tanaka, T. Yokoyama, A. Sudbo, N. Nagaosa, “Interplay between superconductivity and ferromagnetism on a topological insulator”, *Phys. Rev. B*, **81**:18 (2010), 184525, 11 pp.
- [35] C. T. Olund, E. Zhao, “Current-phase relation for Josephson effect through helical metal”, *Phys. Rev. B*, **86**:21 (2012), 214515, 7 pp.
- [36] F. Crepin, B. Trauzettel, F. Dolcini, “Signatures of Majorana bound states in transport properties of hybrid structures based on helical liquids”, *Phys. Rev. B*, **89**:20 (2014), 205115, 12 pp.

Поступила в редакцию 9.12.2020,
после доработки 10.02.2021,
принята к публикации 11.02.2021